

Kerne und Teilchen

Physik VI

Vorlesung # 12 25.5.2010

Three quarks for Muster Mark! -James Joyce, Finnegans Wake

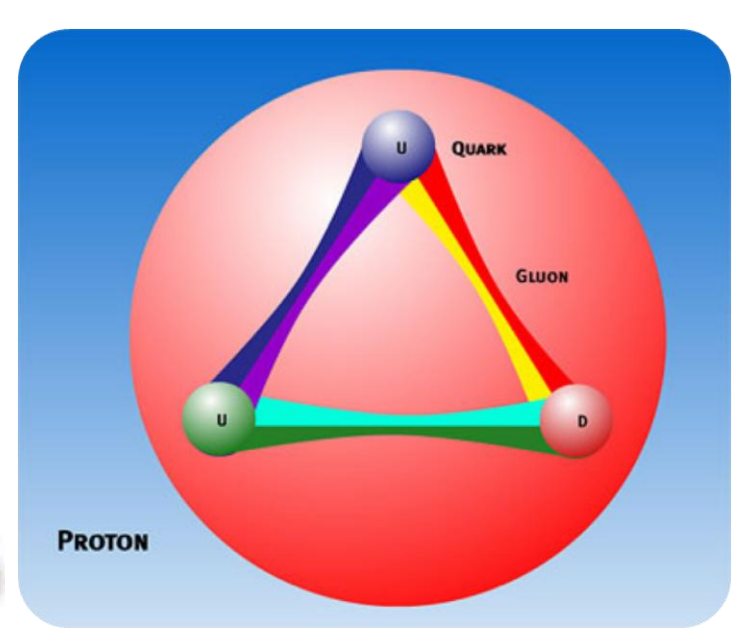


Guido Drexlin, Institut für Experimentelle Kernphysik

Elementarteilchen-Phänomenologie

- Mesonen: Klassifikation
- Mesonen: Zerfallsprozesse in Feynman-Diagrammen
- Standardmodell der Teilchenphysik
- starke Wechselwirkung: Farbe
- Gluonen





Kernspaltung, Elementarteilchen

■ **spontane Spaltung**: Oberflächenterm E_s & Coulombterm E_c als Funktion der Deformation des Kerns – für Z > 114 induzierte Spaltung: Anregungsenergie durch den

Einfang eines Neutrons $(E_{kin} = eV - MeV)$

$$\Delta E = \frac{\varepsilon^2}{5} (2a_S \cdot A^{2/3} - a_C \cdot Z^2 \cdot A^{-1/3})$$

Elementarteilchen im Standardmodell:

3 Fermion-Generationen mit M = sub-eV (v) – 170 GeV (top)

drei Leptonen-Dubletts: $(\mathbf{v_e}, \mathbf{e}^-)$, $(\mathbf{v_u}, \boldsymbol{\mu}^-)$, $(\mathbf{v_\tau}, \boldsymbol{\tau}^-)$

drei Quark-Dubletts: (u, d), (c, s), (t, b)



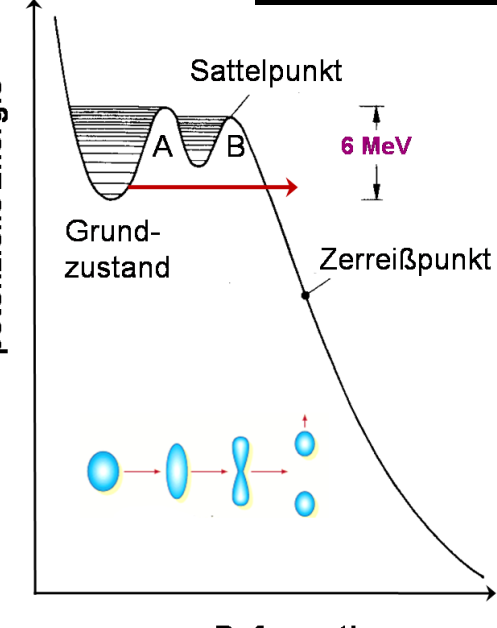
Baryonen: B(u,d,c,s,t,b) = +1/3

$$B(p,n,\Lambda^0,...) = +1$$

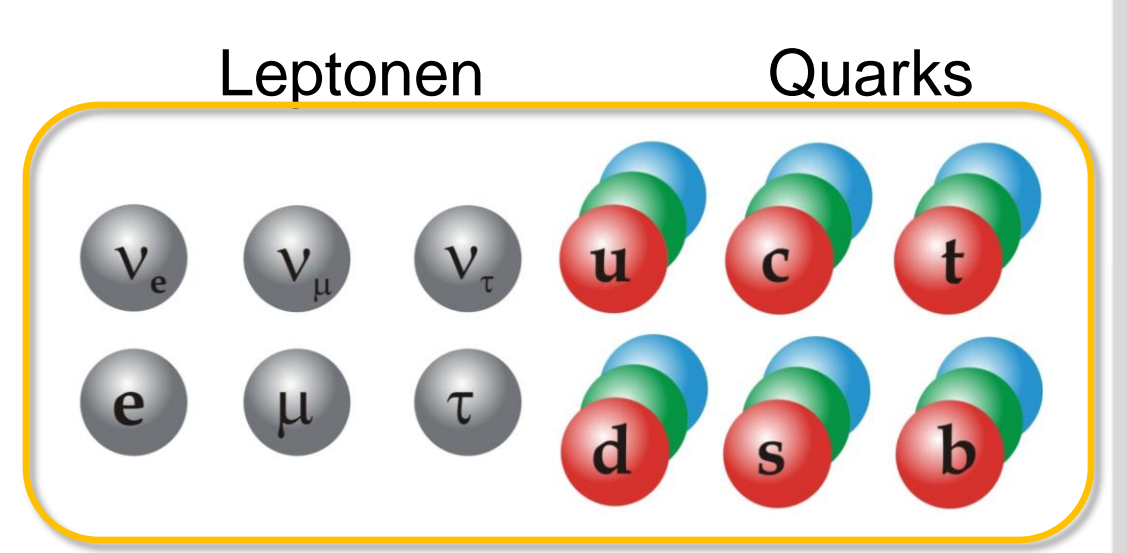
Leptonen: $L(\nu_e, e^-, \nu_\mu, \mu^-, \nu_\tau, \tau^-) = +1$

Familien- $L = L_e + L_u + L_\tau$

Leptonzahl (aber v-Oszillationen)

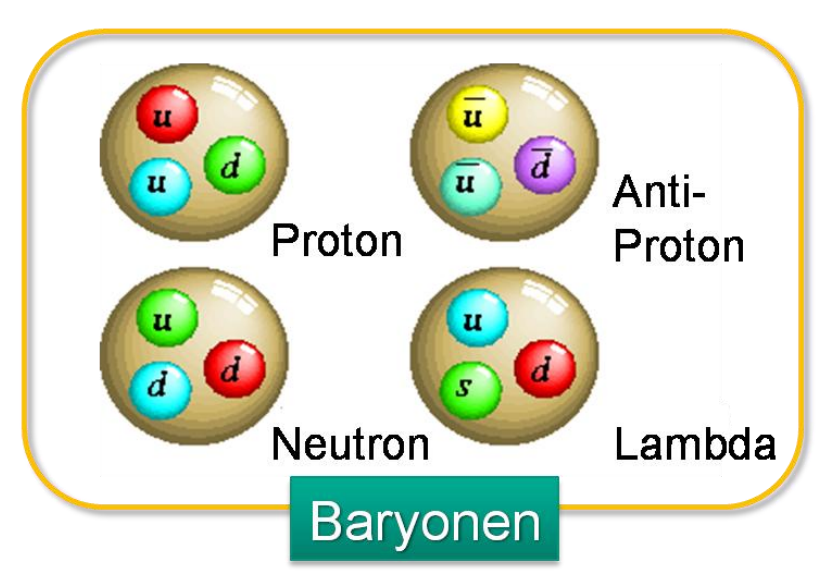


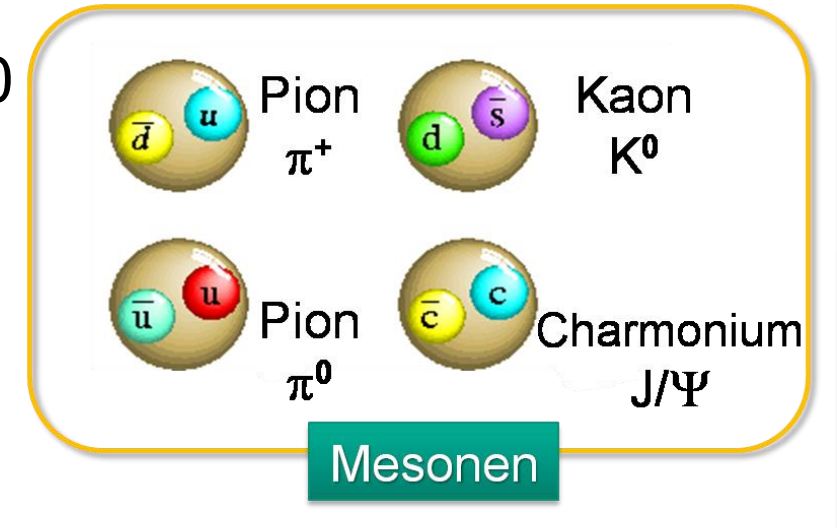
Deformation



Bosonen, Baryonen & Mesonen

- die drei fundamentalen Wechselwirkungen werden vermittelt durch (vektorielle) S = 1 Bosonen (Eichbosonen, Feldquanten)
 - starke Wechselwirkung (α_s) : Gluonen
 - elektromagnet. Wechselwirkung (α): Photon
 - schwache Wechselwirkung (g_w) : W⁺, W⁻
- Baryonen sind 3-Quark (qqq) Zustände
 - Spin ½ und Spin 3/2 Baryonen, L = 0,1,...
 - Parität von Baryonen: P = (-1)^L
 - Baryonen-Oktett: s = ½ Baryonen mit ℓ = 0
 - Baryonen-Dekuplett: s = 3/2 Baryonen mit ℓ = 0
- Mesonen sind gebundene Quark-Antiquark ($q\bar{q}$) Zustände mit der Baryonenzahl B=0
 - alle Mesonen sind instabil
 - Mesonen mit C-Parität +1 und -1
 π⁰ ist eigenes Antiteilchen, aber K⁰ ≠ K⁰





Mesonen – Klassifikation



Mesonen-Klassifikationsschema entsprechend intrinsischer Eigenschaften

Quarkflavour-Inhalt f

Mesonen mit up, down, strangeness, charm, bottom – Quarks/Antiquarks

Gesamtdrehimpuls J

gebildet aus der Summe von Spin S + Bahn-(Orbital-) Drehimpuls L

- S ♥ Gesamtspin des Quark-Antiquark-Paares Triplett S = 1 (企企), Singulett S = 0 (企具)
- L ♥ relativer Bahndrehimpuls des Quark-Antiquark Paares

Parität P

2 Paritäts-Zustände: gerade (even) P = +1, ungerade (odd) P = -1 Parität von Mesonen $P = -(-1)^{\ell} = (-1)^{\ell+1}$ basiert aus **Definition**: P(Fermion, q) = +1, P(Antifermion, q) = -1

da P eine multiplikative Quantenzahl ist, gilt für $P(q\overline{q}) = (+1) \cdot (-1) \cdot (-1)^{\ell}$

damit ist z.B. bei Pion $P(\pi) = -1$ (Beispiel eines pseudoskalaren Mesons)

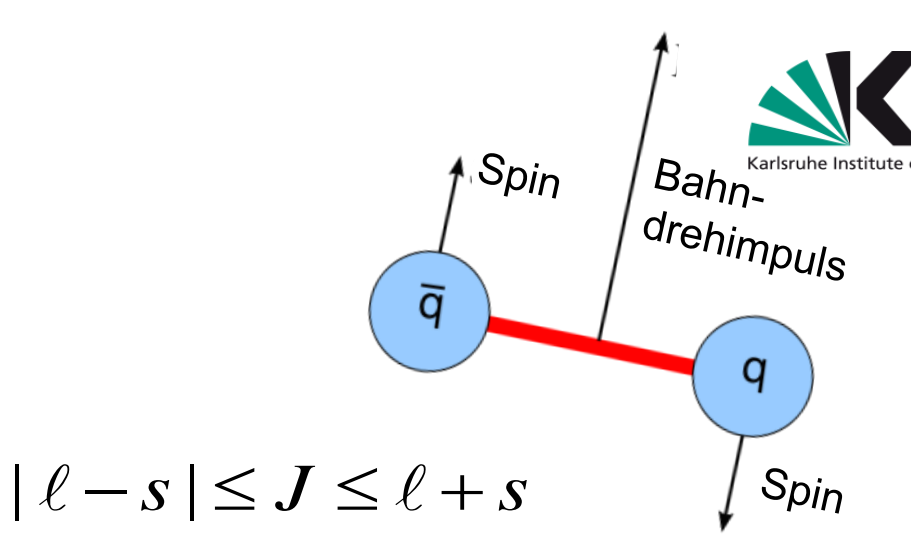
Mesonen – Klassifikation

Notation in der Meson-Spektroskopie:

$$n^{2s+1}\ell_J$$

mit

$$\vec{J} = \vec{s} + \vec{\ell}$$



- radiale Anregung des Mesons n:
- **e**: orbitale Anregung des Mesons $\ell = 0$: S-Zustand, $\ell = 1$: P-Zustand, ...

115₀ Mesonen:
$$(\ell = 0, s = 0)$$
 Spin-Singulett Mesonen

 π^{+} , K⁺, K⁰, Φ , ω , ...

13S₁ Mesonen:
$$(\ell = 0, s = 1)$$
 Spin-Triplett Mesonen

ρ+, K*+, K*0, η, η΄

- mit den drei leichten Quark-Flavours (u,d,s) & den entsprechenden Antiquarks lassen sich insgesamt 9 Mesonen (Nonett) im Grundzustand bilden, zugrunde liegende Symmetrietransformation ist SU(3)_{Flavour}
 - die Quantenzahl S (Strangeness) wird in der starken & elektromagnetischen Wechselwirkung erhalten, es gilt S(s-Quark) = -1, S (Anti-s-Quark) = +1
 - der (starke) Isospin (leichte u,d Massen) beruht auf der SU(2) Symmetrie

Mesonen – Klassifikation

25.5.2010



drehimpuls

Spin

 \overline{q}

- die wichtigsten Arten sind die Vektormesonen & pseudoskalaren Mesonen
 - die pseudoskalaren Mesonen (S=0, ℓ=0) [Spin-Singulett Mesonen] bilden als leichteste Mesonen den 'Grundzustand' von gebundenen qq-Systemen
 - die vektoriellen Mesonen (S=1, l=0) [Spin-Triplett Mesonen] haben aufgrund der Spin-Spin-Wechselwirkung deutlich höhere Massen als die pseudoskalaren Mesonen im Grundzustand
 - die skalaren & tensoriellen Mesonen sind sehr schwer, noch heute andauernde Untersuchungen ihrer spezifischen Eigenschaften (Massen, Zerfallsmoden)

Mesonart	Spin	Orbital	Parität P	Gesamt J
pseudoskalar	0	0	-	0
pseudovektoriell	0	1	+	1
vektorielle	1	0	-	1
skalar	1	1	+	0
tensoriell	1	1	+	2

G. Drexlin – VL11 KIT-IEKP

Mesonen – Spin Singulett



Spin-Singulett Mesonen

pseudoskalare Mesonen

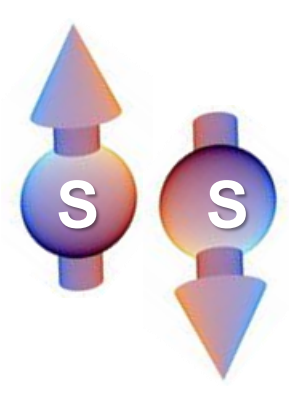
- die neun 1^1S_0 Mesonen (Nonett): $(\ell = 0, s = 0)$
 - sind die Mesonen mit der Grundzustandskonfiguration und haben die kleinsten Massen (oft Zerfall über schwache Wechselwirkung)
- pseudoskalares Nonett umfasst als Mitglieder:
 - geladene & neutrale Pionen als Isospintriplett
 - geladene & neutrale Kaonen als Teilchen mit Strangeness

$$\pi^{+}(140) = |u\overline{d}\rangle \qquad \pi^{-}(140) = |\overline{u}d\rangle \qquad \pi^{0}(135) = \frac{1}{\sqrt{2}}|d\overline{d} - u\overline{u}\rangle$$

$$K^{+}(494) = |u\overline{s}\rangle \qquad K^{-}(494) = |\overline{u}s\rangle$$

$$K^{0}(498) = |d\overline{s}\rangle \qquad \overline{K}^{0}(498) = |\overline{d}s\rangle$$

$$\Phi(1020) = -|s\overline{s}\rangle \qquad \omega(782) = \frac{1}{\sqrt{2}}|d\overline{d} + u\overline{u}\rangle$$



Mesonen – Spin Triplett



Spin-Triplett Mesonen

vektorielle Mesonen

- die neun 1^3S_1 Mesonen (Nonett): $(\ell = 0, s = 1)$
 - sind deutlich schwerer als die Spin-Singulett Mesonen

Grund: Größe der Hyperfeinstruktur-Aufspaltung ist aufgrund der

Spin-Spin-Wechselwirkung der Quarks (basierend auf dem Austausch von

Gluonen) viel größer als im elektromagnetischen Fall

$$\rho^{+}(770) = \left| u\overline{d} \right\rangle \qquad \rho^{-}(770) = \left| \overline{u}d \right\rangle \qquad \rho^{0}(770) = \frac{1}{\sqrt{2}} \left| d\overline{d} - u\overline{u} \right\rangle$$

$$K^{*+}(892) = |u\overline{s}\rangle$$
 $K^{*-}(892) = |\overline{u}s\rangle$

$$K^{*0}(896) = |d\overline{s}\rangle$$
 $\overline{K}^{*0}(896) = |\overline{d}s\rangle$

$$\eta(547) \sim \frac{1}{\sqrt{6}} \left| u\overline{u} + d\overline{d} - 2s\overline{s} \right\rangle \quad \eta'(958) \sim \frac{1}{\sqrt{6}} \left| u\overline{u} + d\overline{d} + s\overline{s} \right\rangle$$



Mesonen – Zerfälle: Grundlagen



- ein Meson-Zerfallsmodus tritt nur auf, falls er kinematisch möglich ist starke Wechselwirkung:
 - spielt eine dominante Rolle bei Mesonenzerfällen
 - leichte Mesonen: τ ~ 10⁻²³...10⁻²⁴ s, ♥ große Zerfallsbreite (10-100 MeV)
 - wird charakterisiert durch Erhaltungssätze (Quarkflavours, Isospin)
 - Beispiele: $\rho^0 \to \pi^+ + \pi^-$, $\omega \to \pi^+ + \pi^- + \pi^0$

elektromagnetische Wechselwirkung:

- spielt zweitwichtigste Rolle bei Mesonenzerfällen
- typische Lebensdauern 10⁻¹⁷...10⁻¹⁹ s
- beim Zerfall kann es zur Verletzung des starken Isospins (u,d) kommen
- Beispiele: $\pi^0 \rightarrow \gamma + \gamma$, $\eta \rightarrow \gamma + \gamma$ (39%) $\eta \rightarrow 3\pi$ (55%)

schwache Wechselwirkung:

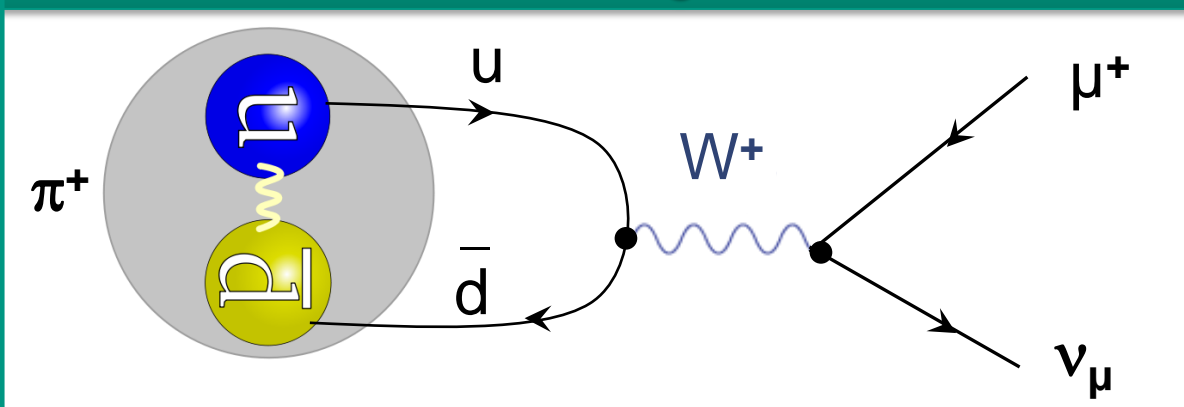
- spielt eher untergeordnete Rolle bei Mesonenzerfällen (wichtig: π , K)
- typische Lebensdauern ~10⁻⁸ s
- Änderung von Quark-Flavours (s-u), Verletzung von Symmetrien (Parität)
- Beispiele: $\pi^+ \to \mu^+ + \nu_{\mu}$ (100%), $K^+ \to \mu^+ + \nu_{\mu}$ (64%) $K^+ \to \pi^+ + \pi^0$ (21%)

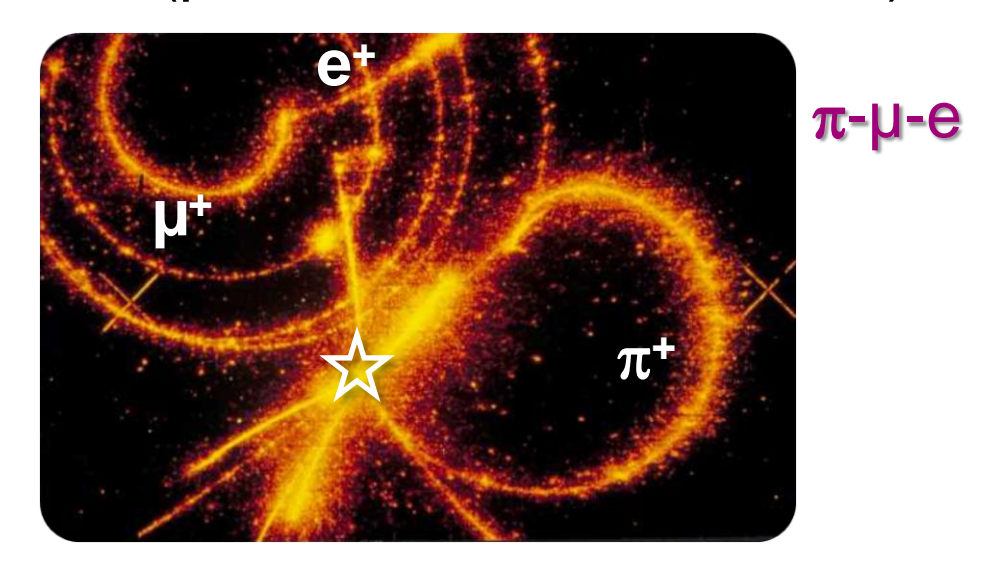
Mesonen-Zerfälle: geladene Pionen



■ Pionen zerfallen bevorzugt in leichtere Leptonen ($\mu = 105 \text{ MeV}$, e = 0.5 MeV)

schwacher Zerfall von geladenen Pionen

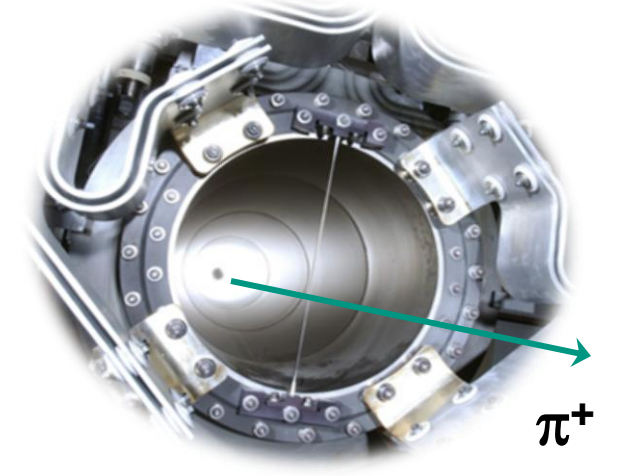




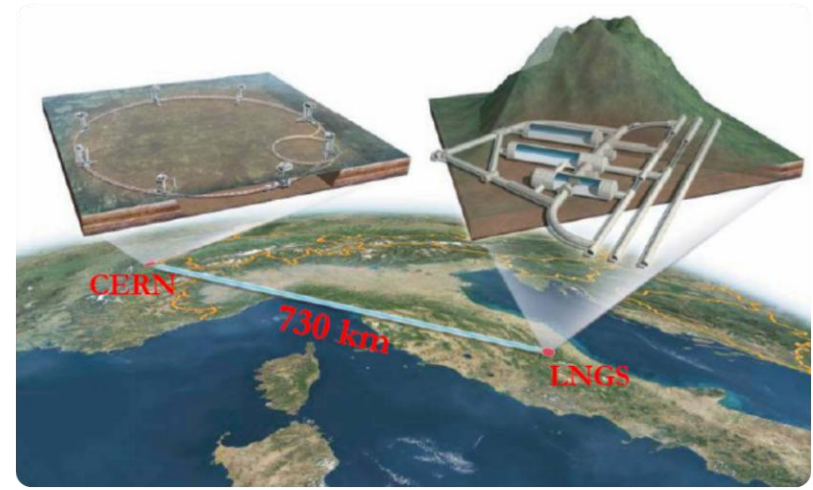
$$\pi^{+} \rightarrow \mu^{+} + \nu_{\mu}$$

$$\downarrow^{+} e^{+} + \nu_{e} + \overline{\nu}_{\mu}$$

Beispiel: an einem Protonenbeschleuniger werden in einem Target Pionen erzeugt, ihr Zerfall



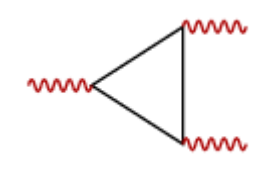
CERN-LNGS Neutrinostrahl



erzeugt Myon-Neutrinos im GeV-Energiebereich

25.5.2010 G. Drexlin - VL11 KIT-IEKP

Mesonen-Zerfälle: neutrale Pionen



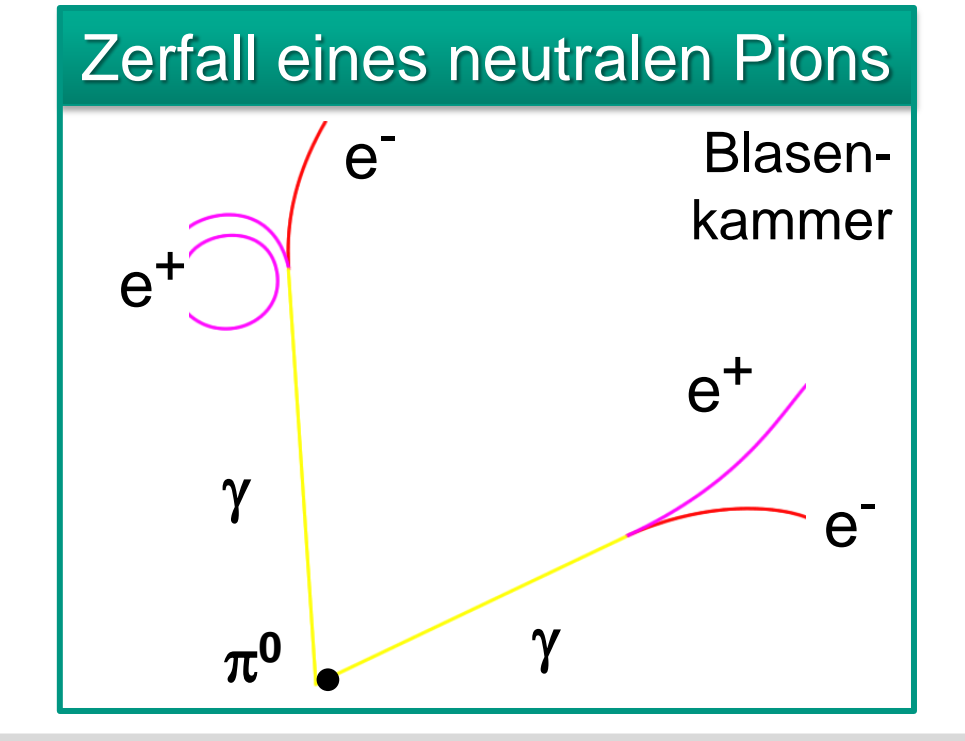
neutrale Pionen π^0 zerfallen elektromagnetisch in 2 masselose Photonen (γ) $\pi^0 \to \gamma \gamma$ erfordert chirale Störungstheorie (Ww. leichter Quarks mit Gluonen)

Theorie: Darstellung der ´chiralen Anomalie´ des π⁰ –Zerfalls im Dreiecksdiagramm, aus Γ(π⁰)
 \$\sqrt{3}\$ Farbfreiheitsgrade

Experiment:

- π^0 ist nie 'direkt' nachweisbar
- 2 γ 's mit E_{γ} = 67.5 MeV im CMS
- Gammas erzeugen in Materie zwei e+/e⁻ Paare (Paarbildung)

Astroteilchenphysik: GeV-γ's von hadronischen Beschleunigern





Mesonen – Zerfälle:



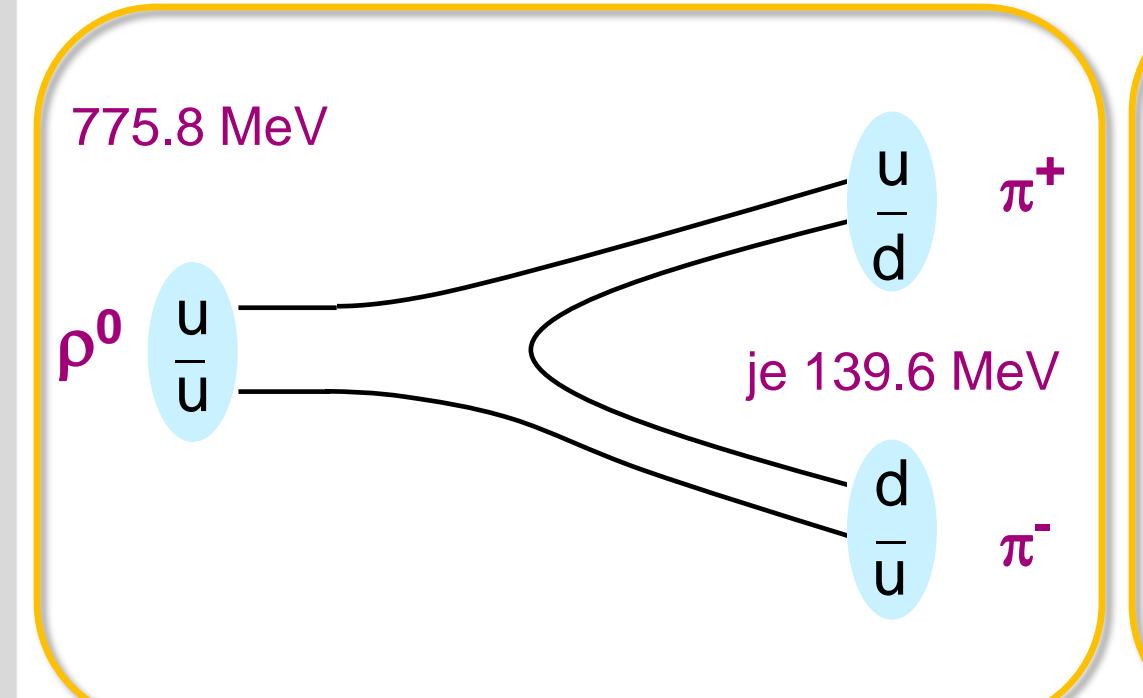
Zerfälle durch die starke Wechselwirkung am Beispiel der $ρ^0$ - und ω Mesonen

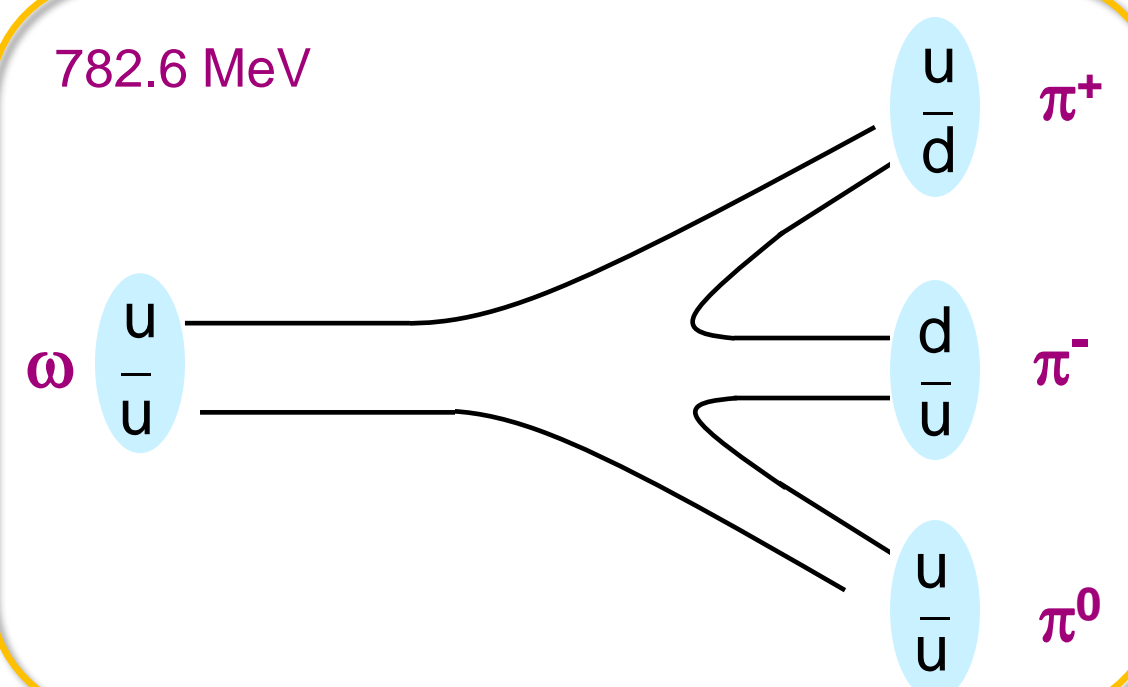
$$\rho^0(770) = \frac{1}{\sqrt{2}} \left| d\bar{d} - u\bar{u} \right\rangle$$

 $\tau = 4.3 \cdot 10^{-24} \text{ s } \Gamma = (150.3 \pm 1.6) \text{ MeV}$ Zerfall in 2 Pionen (100%)

$$\omega(782) = \frac{1}{\sqrt{2}} \left| d\overline{d} + u\overline{u} \right\rangle$$

 $\tau = 7.8 \cdot 10^{-23} \text{ s}$ Zerfall in 3 Pionen (89.1%)





Mesonen – Zerfälle & Zweig-Regel



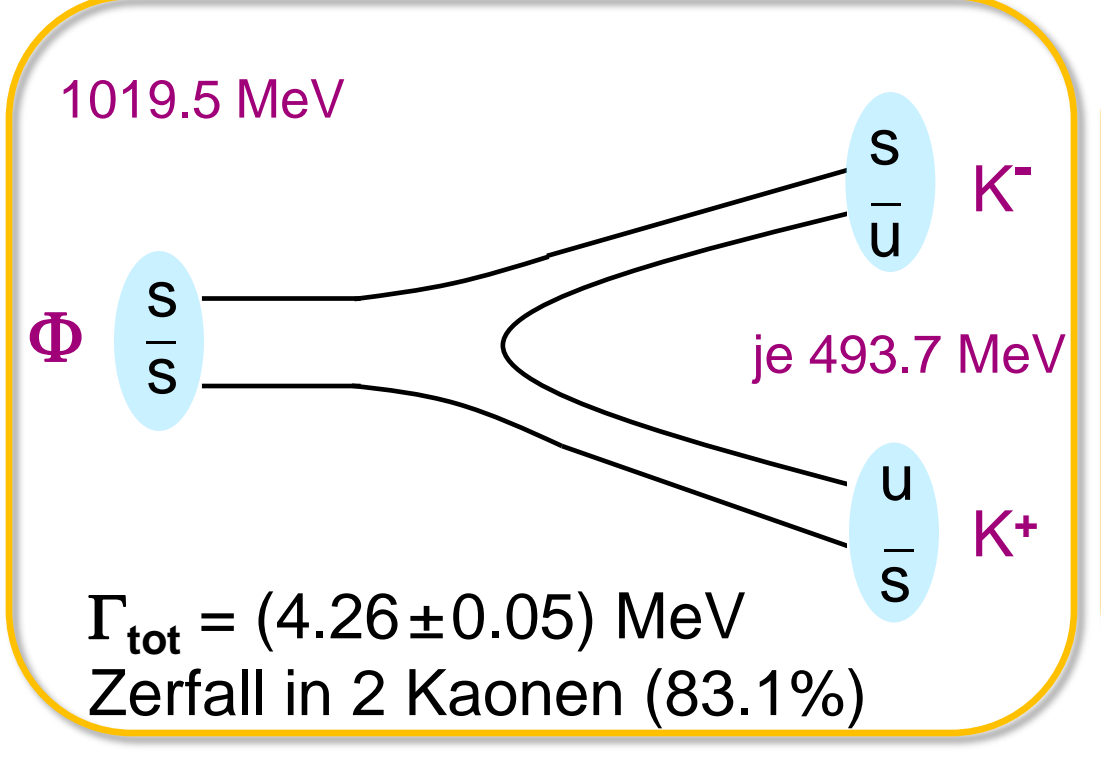
bei den Zerfällen von schwereren Mesonen, z.B. des $\Phi(1020)$ ist der Quark-Inhalt der Mesonen im Endzustand wichtig (mit/ohne Strangeness)

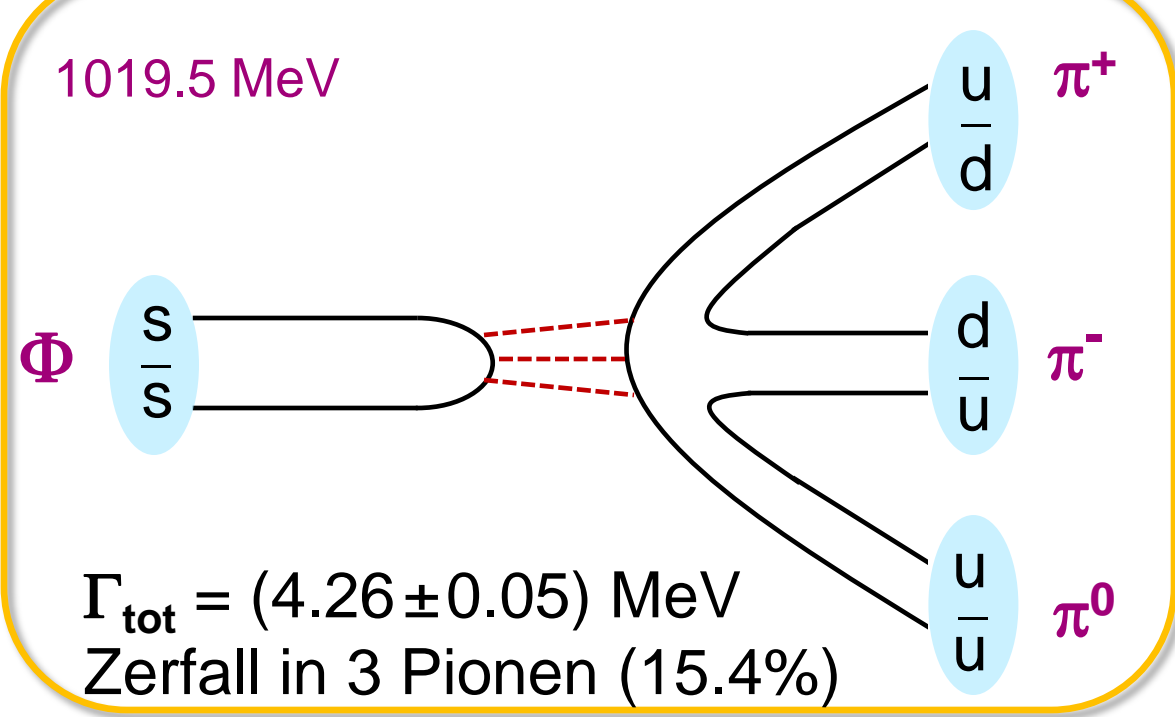
Zerfall eins Φ Vektor-Mesons: ~83% in K+ K⁻, nur ~15% in drei Pionen π + π ⁻ π 0

Zerfall in K+K⁻: durchgezogene ss - Quarklinien

Zerfall in $\pi^+ \pi^- \pi^0$: nicht durchgezogene ss - Quarklinien

"Zweig-Regel" 🦫 geringe Zerfalls-Breite von schweren Mesonen





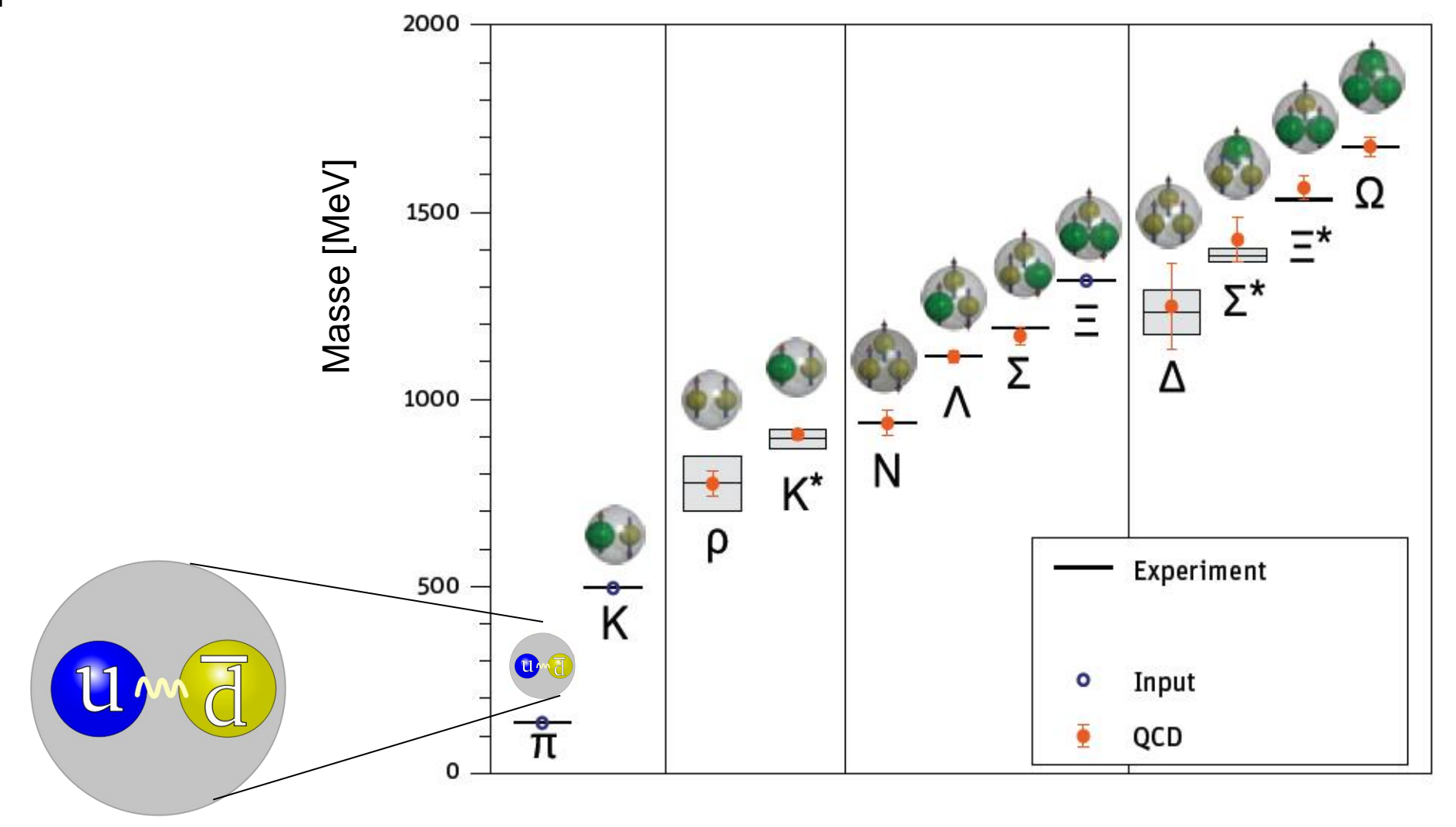
13

Massenspektrum von Baryonen/Mesonen



 das beobachtete Massenspektrum von Baryonen und Mesonen kann heute mit wenigen Input-Massen durch modernen QCD Methoden gut nachgebildet





25.5.2010

Existenz von exotischen QCD-Zuständen?



zahlreiche Suchen nach exotischen Baryon- & Mesonzuständen

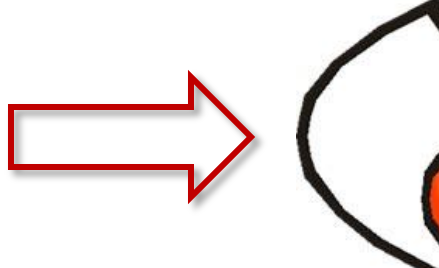


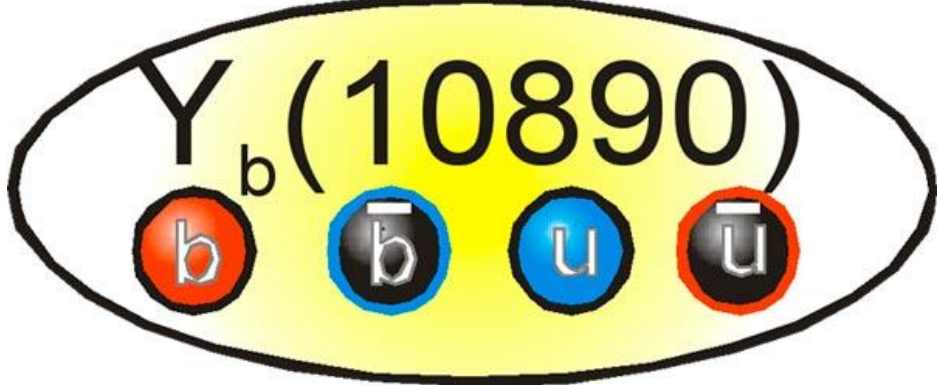


normales Meson

 Quantenchromodynamik (QCD) erlaubt die Existenz z.B. von Tetraquarks 2010: Resultate des BELLE Experiments in Japan können als möglicher Hinweis für ein Tetraquark gedeutet werden









Evidence grows for tetraquarks
Physics world Apr 27, 2010

(vgl. Kap. 7.2)

15 25.5.2010 G. Drexlin – VL11 KIT-IEKP

5.3 Wechselwirkungen im Standardmodell



im Standardmodell werden Wechselwirkungen durch Eichsymmetrien beschrieben:

Vereinheitlichung von elektromagnetischer & schwacher Wechselwirkung zur elektroschwachen Wechselwirkung (zentrale Vorhersage: Existenz von neutralen schwachen Strömen mit einem massiven Z⁰ Eichboson)

- starke Wechselwirkung : Quantenchromodynamik

16

25.5.2010

- elektroschwache Wechselwirkung: Weinberg-Salam-Glashow Modell Fernziel: große Vereinheitlichung (**G**rand **U**nified **T**heories, **GUT**s)

Wechsel- wirkung	Boson	Masse [GeV]	rel. Stärke [3 × 10 ⁻¹⁷ m]	Reichweite [m]	Potenzial
stark	Gluonen	0	60	2.5 · 10 ⁻¹⁵	αr ⁻¹ + βr
elektromagnet.	Photon	0	1	∞	1/r
schwach	W+ W ⁻	80.4 91.2	10-4	~10 ⁻¹⁸	δ(r)

G. Drexlin – VL12 KIT-IEKP

Standardmodell der Teilchenphysik



die theoretischen Vorhersagen des Standardmodells stehen mit allen experimentellen Resultaten in sehr guter Übereinstimmung

(Ausnahme: endliche Neutrinomassen)

 kosmologische Beobachtungen (Dunkle Materie, dunkle Energie, Materie/Antimaterie Asymmetrie) deuten auf Physik jenseits des Standardmodells hin (BSM, Beyond the Standard Model, z.B. Supersymmetrie)



Sheldon Lee Glashow

17



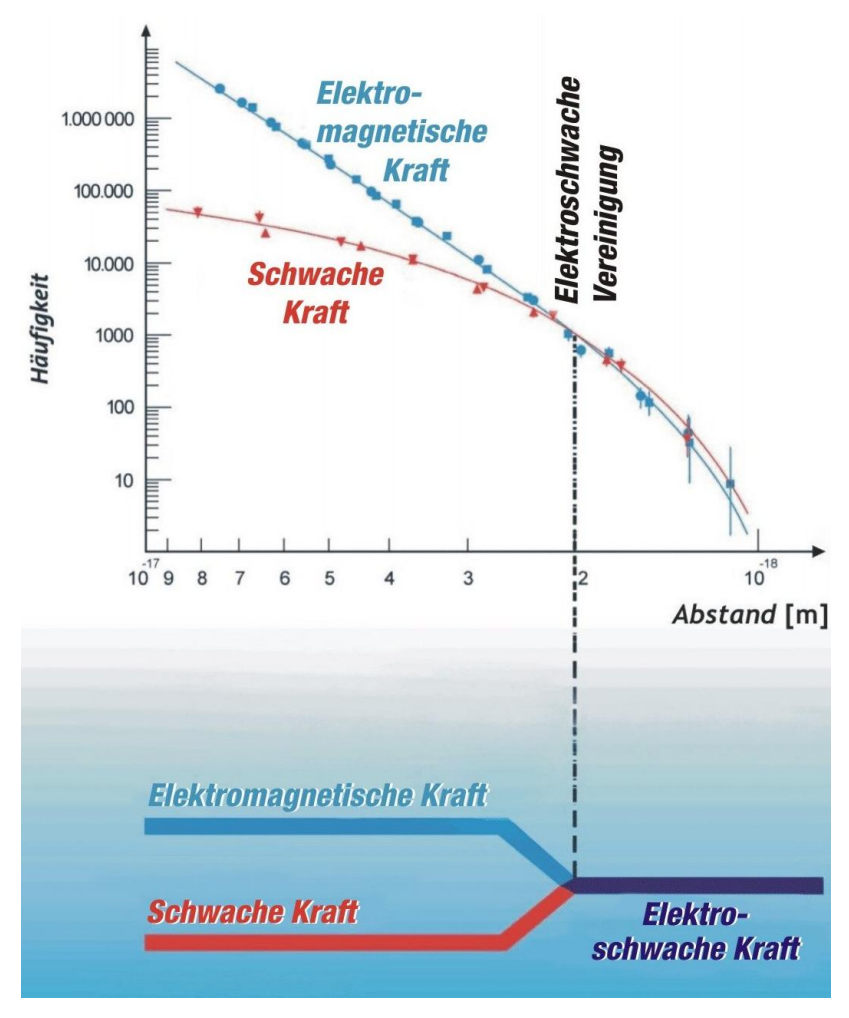
Abdus Salam



Steven Weinberg



Nobelpreis 1979



"for their contributions to the unified weak & elmagn. Interactions of elementary particles"

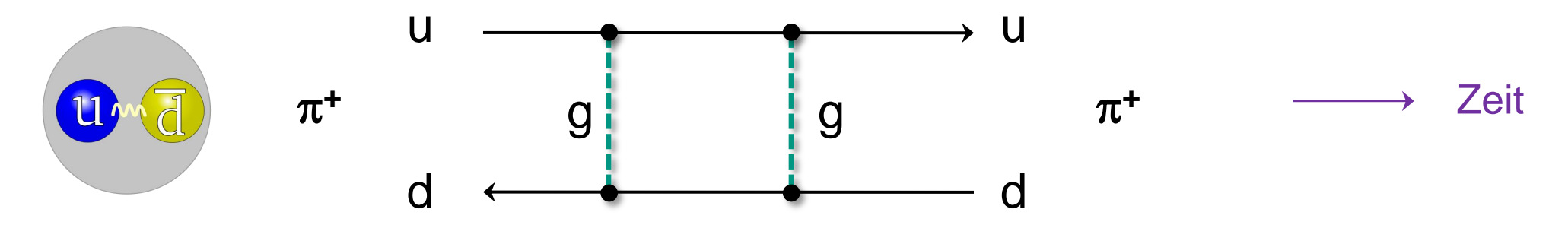
KIT-IEKP

25.5.2010 G. Drexlin – VL12

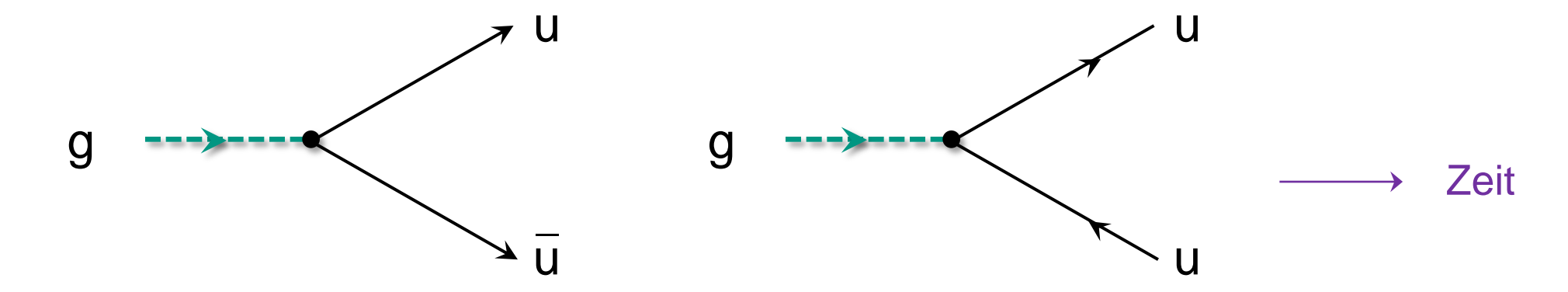
Wechselwirkungen – Feynmandiagramme



starke Wechselwirkung: Austausch von Gluonen in einem Meson (Pion)
 der Flavourzustand eines Quarks wird nicht geändert (Änderung der Farbe)



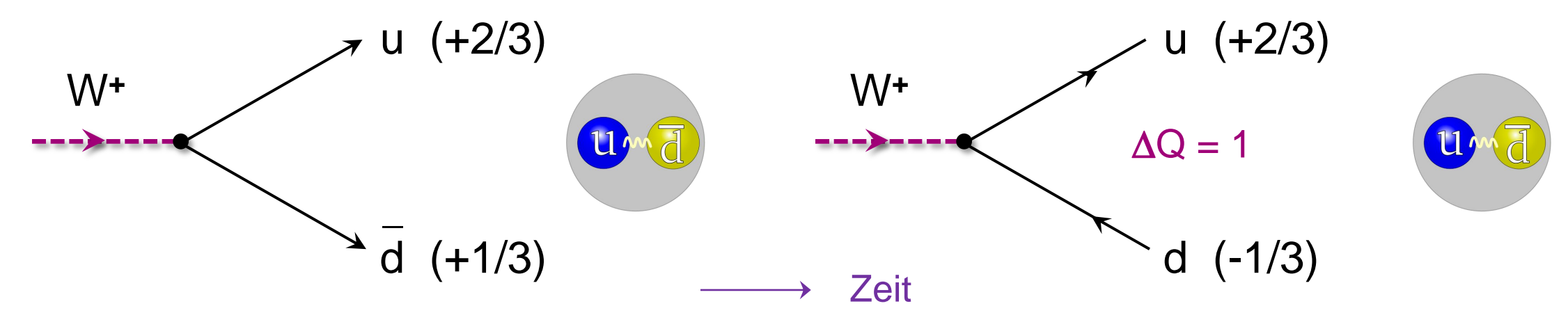
 Erhaltung der Baryonenzahl bei Wechselwirkungen: eine Quarklinie in einem Feynman-Diagramm darf nie unterbrochen werden,
 Beispiel der Erzeugung eines Quark-Antiquark Paares durch ein Gluon



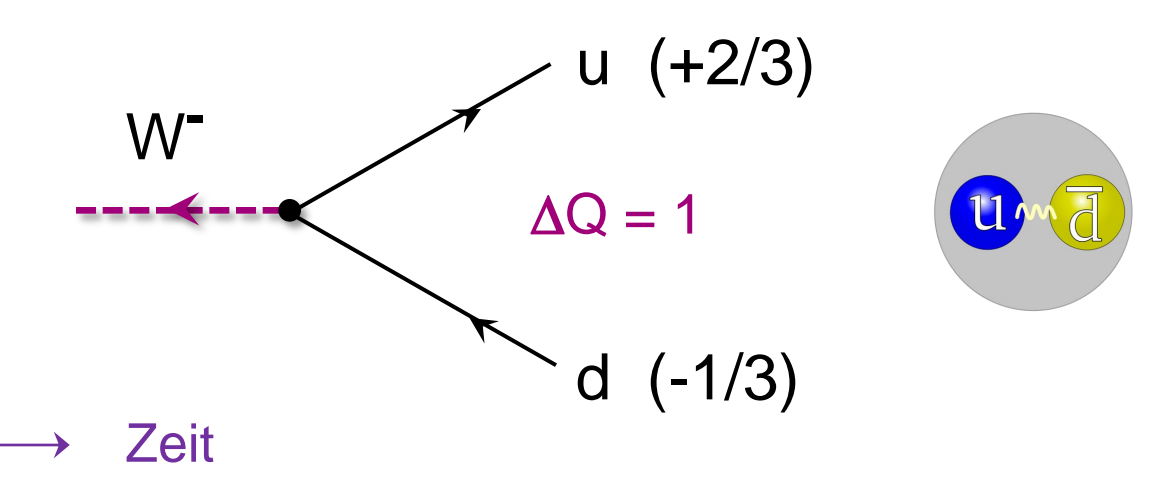
Wechselwirkungen – Feynmandiagramme



schwache Wechselwirkung: Zerfall eines schweren Teilchens in ein Pion:
 Änderung des Quarkflavours in der ununterbrochenen Quarklinie



■ die Richtung des ausgetauschten virtuellen Bosons ist nicht festgelegt: in dieser Darstellung emittiert ein zeitlich rückwärts laufendes d-Quark ein W⁻ Boson, anstatt wie oben ein W+ Boson zu absorbieren



Farbe als Freiheitsgrad



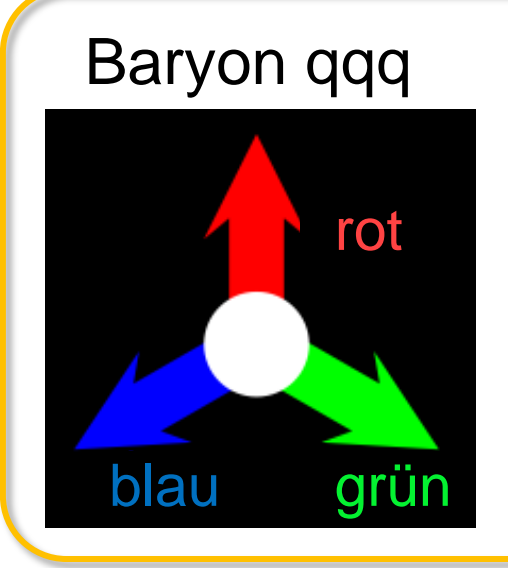
Baryonen und Mesonen sind nach außen stets QCD - 'farbneutrale' Objekte,
 d.h. alle Hadronen befinden sich in einem Farb-Singulett-Zustand

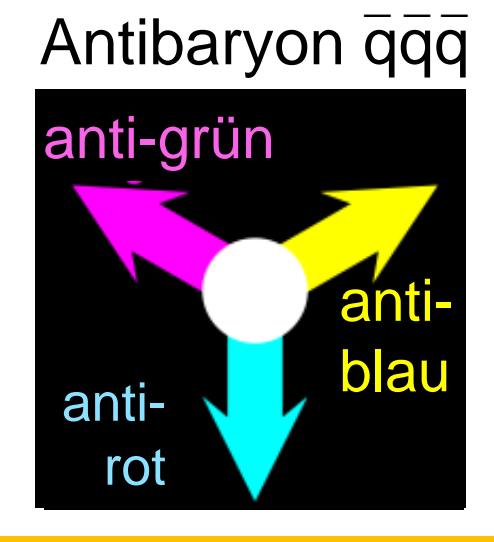
Baryonen: 3 Farben (rgb) ♥ Addition zur Farbneutralität

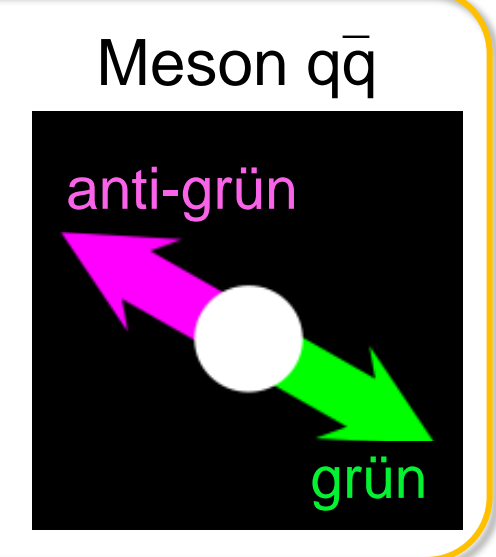
Mesonen: 1 Farbe & 1 Anti-Farbe ♥ Addition zur Farbneutralität

- für Mesonen ergeben sich damit folgende 'Farb-Wahrscheinlichkeiten'
 - 1/₃ für rot-antirot,
 - 1/₃ für blau-antiblau
 - ⅓ für grün-antigrün
- der Farbzustand von Quarks ändert sich andauernd durch den Austausch von Gluonen (tragen ebenfalls Farbe)

$$(r\overline{r} + b\overline{b} + g\overline{g})/\sqrt{3}$$







Farbe als Freiheitsgrad & Pauli-Prinzip

- der Farb-Singulett-Zustand eines Baryons ist wichtig zur Erfüllung eines verallgemeinerten Pauli-Prinzips: die Gesamtwellenfunktion eines Baryons muss unter Berücksichtigung aller Quark-Freiheitsgrade antisymmetrisch sein
- die Δ^{++} Resonanz (uuu) & das Ω^{-} (sss) verletzen ohne die Existenz des Farb-Freiheitsgrades das Pauli-Prinzip, Beispiel: Δ^{++} Wellenfunktion

$$\Delta^{++} = |uuu\rangle \cdot |\uparrow\uparrow\uparrow\rangle \cdot |\ell=0\rangle$$
Flavour Spin Orbital- ℓ

G. Drexlin – VL12

symmetrische Gesamtwellenfunktion

$$\Delta^{++} = |u\,uu\rangle \cdot |\uparrow\uparrow\uparrow\rangle \cdot |\ell=0\rangle \cdot \left|\frac{1}{\sqrt{6}}\,\varepsilon^{ijk}q_iq_jq_k\right\rangle$$
 Flavour Spin Orbital- ℓ Farbfreiheitsgrade

 $\varepsilon_{ijk} = +1$ für gerade Permutation für ungerade Permutation $\varepsilon_{iik} = 0$ für 2 gleiche Indices (Farben)

mit Farbfreiheitsgraden: anti-symmetrische Δ^{++} Gesamtwellenfunktion

Farbe als Freiheitsgrad & Pauli-Prinzip



die Antisymmetrisierung am Beispiel des Δ^{++} :

$$\Psi_{Farbe}(Baryon) = \frac{1}{\sqrt{6}} \varepsilon^{ijk} q_i \cdot q_j \cdot q_k$$
 Summation über die Farbindices *i*, *j*, *k* von 1 bis 3

Antisymmetrische Darstellung der Farbfreiheitsgrade:

$$\Psi_{Farbe}(\Delta^{++}) = \frac{1}{\sqrt{6}} \left| RGB + BRG + GBR - GRB - BGR - RBG \right\rangle$$

Beispiel: nach Vertauschung der beiden Farbfreiheitsgrade RG ergibt sich:

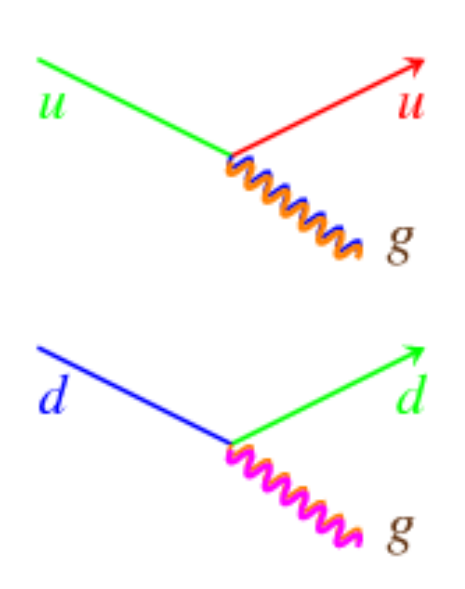
$$\Psi_{Farbe}(\Delta^{++}) = \frac{1}{\sqrt{6}} \left| GRB + BGR + RBG - RGB - BRG - GBR \right\rangle$$

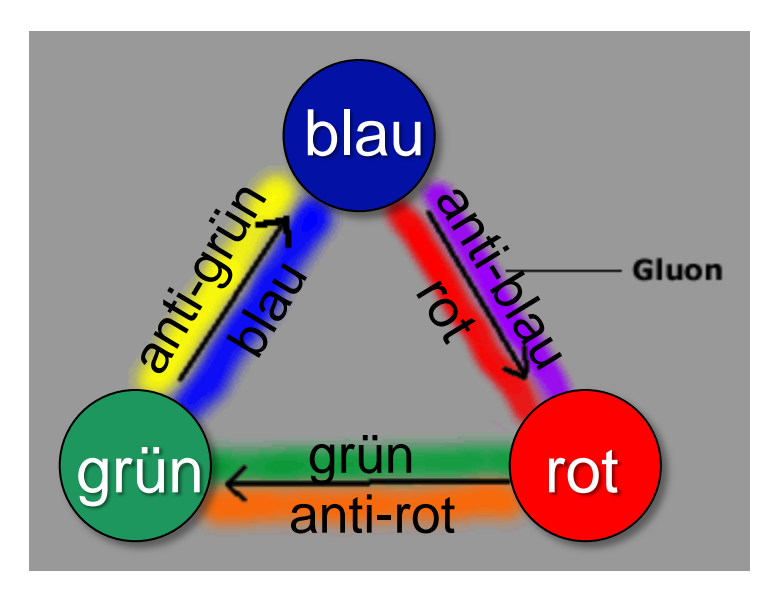
die Gesamtwellenfunktion des Δ^{++} Baryons ist unter Berücksichtigung aller Quark-Freiheitsgrade wie gefordert antisymmetrisch

Gluonen



- in der QCD existieren 8 Gluonzustände ('Farbzustände', 'Farboktett'):
 - alle Zustände sind linear unabhängig
 - jedes Gluon ist ein masseloses Spin 1 Boson
 - jedes Gluon trägt eine Farbe + Anti-Farbe
- in nebenstehenden Darstellung ändern die ersten 6 Gluonen die Farbe eines Quarks, die beiden farbneutralen Kombinationen ändern die Farbe bei der Emission/Absorption nicht

















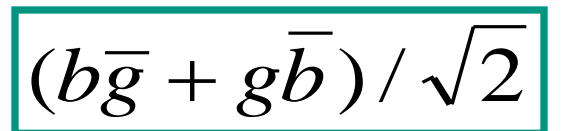
$$(r\overline{r}-g\overline{g})/\sqrt{2}$$

$$(r\overline{r} + b\overline{b} - 2g\overline{g})/\sqrt{6}$$

Gluonen



- in der QCD existieren 8 Gluonzustände ('Farbzustände', 'Farboktett'):
 - alle Zustände sind linear unabhängig
 - jedes Gluon ist ein masseloses Spin 1 Boson
 - jedes Gluon trägt eine Farbe + Anti-Farbe
- die 8 linear unabhängigen Gluonzustände lassen sich auch durch andere Linear-Kombinationen von Farbfreiheitsgraden darstellen (vgl. zu S. 23)



$$(r\overline{g}+g\overline{r})/\sqrt{2}$$

$$(r\overline{r}-b\overline{b})/\sqrt{2}$$

$$(r\overline{b}+b\overline{r})/\sqrt{2}$$



$$-i(r\overline{g}-g\overline{r})/\sqrt{2}$$

$$-i(b\overline{g}-g\overline{b})/\sqrt{2}$$

$$(r\overline{r} + b\overline{b} - 2g\overline{g})/\sqrt{6}$$

